



بیست و یکمین کنفرانس اپتیک و فوتونیک ایران  
و هفتمین کنفرانس مهندسی و فناوری فوتونیک ایران  
۲۳ تا ۲۵ دی ماه ۱۳۹۳، دانشگاه شهید بهشتی



## حل تحلیلی معادله موج در یک شنل نامرئی ساز خارجی با تابع تبدیل خطی

محمد رضا فروزش فرد، محمود حسینی فرزاد

بخش فیزیک دانشگاه شیراز، شیراز ۷۱۴۵۴، ایران

چکیده - مساله شنل نامرئی ساز خارجی در سال ۲۰۰۹ به روش اپتیک تبدیل مورد تحلیل و بررسی قرار گرفته و ویژگی های دی الکتریکی آن استخراج شده است. در این مقاله ویژگی های دی الکتریکی گزارش شده توسط این پژوهش را مورد استفاده قرار داده و معادله موج ماکسول در محیطی با چنین ویژگی های دی الکتریکی را به صورت نظری حل کرده ایم. در نهایت با توجه به جواب های به دست آمده از حل معادله موج، شکل توزیع میدان در نواحی مختلف فضا را توسط نرم افزار ممتیکا رسم کرده و با نتایج حاصل از نرم افزار کامسول که در پژوهش سال ۲۰۰۹ گزارش شده است، مقایسه کرده ایم.

کلید واژه- اپتیک تبدیل، حل تحلیلی، شنل نامرئی ساز خارجی، معادله موج ماکسول

## Theoretical solution of wave equation in an external invisibility cloak with linear transformation function

M. R. Forouzesfard, M. Hosseini Farzad,

Physics Department, Faculty of Science, Shiraz University, Shiraz 71454, Iran

Abstract- In 2009 the problem of external invisibility cloak was solved for the first time by the method of transformation optics and the properties of the external invisibility cloak was obtained with that. In this paper the material properties of an external invisibility cloak which is obtained by transformation optics, is used to solve Maxwell's wave equations theoretically inside and outside of this cloak. At the end according to the result of our theoretical solution, electric field distribution is plotted with Mathematica software and the resulting diagram is compared with the other diagram which was plotted with COMSOL software and reported in literature.

Keywords: External invisibility cloak, Maxwell' wave equation, Theoretical solution, Transformation optics

## ۱- مقدمه

بررسی نحوه انتشار امواج الکترومغناطیسی در محیط های شامل فرا مواد نوری در حال حاضر یکی از جذاب ترین و پرکاربردترین مباحث در علم اپتیک و فوتونیک می باشد. در بین این فرا مواد نوری، شل های نامرئی ساز به دلیل ساختار ناهمسانگرد و همچنین عملکرد منحصر به فردشان توجه بیشتری را به سمت خود جلب کرده اند.

امکان ایجاد شل های نامرئی ساز و بررسی ویژگی های آن ها اولین بار در سال ۲۰۰۶ [۲و۱] به کمک نظریه اپتیک تبدیل مورد بررسی قرار گرفت. این نوع از شل نامرئی ساز تحت عنوان شل نامرئی ساز حفره دار موسوم است. انواع مختلفی از شل های حفره دار با هندسه های مختلف شامل بیضی [۳] مربع [۴] و استوانه [۵] در دو بعد و کره [۱] و چنبره [۶] در سه بعد در مقالات گزارش شده اند.

علاوه بر شل های حفره دار، شل های خارجی یا شل در فاصله نیز که از مواد با ضریب شکست منفی و هندسه تاکننده بهره می گیرد در مقالات معرفی شده اند [۷].

تمامی بررسی های فوق و استخراج ویژگی های این ابزارها توسط نظریه اپتیک تبدیل انجام شده اند؛ برای اثبات صحت این ویژگی ها و همچنین یافتن نحوه انتشار امواج الکترومغناطیسی در این ابزارها حل نظری معادله موج ماکسول در چنین محیط هایی نیز مورد توجه قرار گرفته است. برای مثال می توان به حل نظری معادله موج در شل های حفره دار استوانه ای [۹و۸] و کره ای [۱۰] اشاره کرد.

در این مقاله قصد داریم حل نظری انتشار امواج الکترومغناطیسی در شل های خارجی استوانه ای را مورد مطالعه قرار دهیم. برای این منظور ویژگی های دی الکتریکی استخراج شده توسط نظریه اپتیک تبدیل برای این نوع از شل [۷] را مورد استفاده قرار داده و سعی می کنیم معادله موج در محیطی با این ویژگی ها را حل کنیم و جواب های آن را مورد مطالعه و بررسی قرار دهیم. بعد از یافتن جواب های معادله موج، این جواب ها را برای تمامی نواحی موجود در مساله به کمک نرم افزار ممتیکا رسم کرده ایم.

## ۲- نظریه اپتیک تبدیل

تابع تبدیلی خطی به صورت زیر در دستگاه مختصات استوانه ای بین مختصه شعاعی فضای فیزیکی (مختصه بدون پریم) و به مختصه شعاعی فضای مجازی (مختصه پریم دار) در نظر بگیرید

$$r = f(r') = Ar' + B, \quad \theta = \theta', \quad z = z', \quad (1)$$

که در آن  $A$  و  $B$  برای پوسته و هسته ابزار در یک شل نامرئی ساز خارجی به ترتیب برابر است با [۷]

$$A_{shell} = \left( \frac{a-b}{c-b} \right), \quad B_{shell} = b \left( \frac{c-a}{c-b} \right) \\ A_{core} = a/c, \quad B_{core} = 0. \quad (2)$$

این تابع تبدیل طوری است که در آن  $f(c) = a$  و  $f(b) = b$  است. این تابع تبدیل لایه از فضا که در فاصله  $b \leq r' \leq c$  قرار دارد را روی لایه دیگر  $a \leq r \leq c$  تا می کند. نظریه اپتیک تبدیل ویژگی های دی الکتریکی این شل نامرئی ساز با تابع تبدیل فوق را به صورت زیر به دست می دهد [۷]

$$\varepsilon_r = \mu_r = \frac{r-B}{r}, \quad \varepsilon_\theta = \mu_\theta = \frac{r}{r-B}, \\ \varepsilon_z = \mu_z = \frac{r-B}{A^2 r} \quad (3)$$

که برای هر یک از پوسته و هسته ابزار، لازم است از رابطه (۲) در رابطه (۳) جایگذاری کنیم.

## ۳- حل معادله موج ماکسول

معادلات ماکسول برای محیطی با ویژگی تانسور دی الکتریک قطری و برای مد TE (میدان الکتریکی در جهت محور استوانه  $z$ ) معادلات دیفرانسیل زیر را به دست می دهد [۸]:

$$\frac{1}{\varepsilon_z r} \frac{\partial}{\partial r} \left( r \frac{\partial E_z}{\partial r} \right) + \frac{1}{\varepsilon_z r^2} \frac{\partial}{\partial \theta} \left( \frac{1}{\mu_r} \frac{\partial E_z}{\partial \theta} \right) + k_0^2 E_z = 0 \quad (4)$$

بعد از جداسازی متغیرها به صورت  $E_z = \psi(r)\Theta(\theta)$  و همچنین جایگذاری رابطه (۳) در معادله (۴) معادله های دیفرانسیل زیر برای پوسته و هسته ابزار با قرار دادن

$A$  و  $B$  مربوطه به دست می‌آید:

$$r = a \text{ و در}$$

$$\alpha_i^3 J_1(k_2 a) = \alpha_i^1 J_1(k_1(a-B)) + \alpha_i^2 H_1(k_1(a-B))$$

معادله دیفرانسیل شعاعی

$$k_2 \alpha_i^3 J_1'(k_2 a) =$$

$$\frac{k_1(a-B)}{a} [\alpha_i^1 J_1'(k_1(a-B)) + \alpha_i^2 H_1'(k_1(a-B))]$$

(ب-۸)

$$(r-B)^2 \frac{d^2 \psi(r)}{dr^2} + (r-B) \frac{d\psi(r)}{dr} + \left[ \left( \frac{k_0}{A} (r-B) \right)^2 - l^2 \right] \psi(r) = 0 \quad (۵)$$

معادله دیفرانسیل زاویه ای

$$\frac{d^2 \Theta(\theta)}{d\theta^2} + l^2 \Theta(\theta) = 0 \quad (۶)$$

که در آن  $B$  مربوط به پوسته است و برای خلاصه نویسی اندیس آن حذف شده است ( $B$  برای هسته ابزار برابر صفر است).

بعد از انجام جایگذاری های لازم و کمی محاسبه، معادلات (۸-الف) و (۸-ب) به صورت زیر در می‌آید

$$\begin{aligned} (\alpha_i^{in} - \alpha_i^1) J_1(k_0 b) + (\alpha_i^{sc} - \alpha_i^2) H_1(k_0 b) &= 0 \\ (\alpha_i^{in} - \alpha_i^1) J_1'(k_0 b) + (\alpha_i^{sc} - \alpha_i^2) H_1'(k_0 b) &= 0 \\ (\alpha_i^3 - \alpha_i^1) J_1(k_0 c) - \alpha_i^2 H_1(k_0 c) &= 0 \\ (\alpha_i^3 - \alpha_i^1) J_1'(k_0 c) - \alpha_i^2 H_1'(k_0 c) &= 0 \end{aligned} \quad (۹)$$

با توجه به اینکه انتخاب  $b$  و  $c$  اختیاری است و همچنین این روابط برای تمام  $l$ ها معتبر است لذا می-توان نتیجه گرفت

$$\alpha_i^1 = \alpha_i^3 = \alpha_i^{in}, \quad \alpha_i^{sc} = \alpha_i^2 = 0. \quad (۱۰)$$

نکته ی قابل ذکر در اینجا این است که نتایج فوق بدون در نظر گرفتن شکل خاصی برای موج فرودی به دست آمده‌اند و کاملاً کلی هستند. در ادامه برای رسم میدان به کمک نرم افزار، نیاز داریم که شکل موج فرودی را معلوم در نظر بگیریم. لذا یک موج تخت را برای این منظور انتخاب می‌کنیم.

#### ۴- شبیه سازی عددی

در ادامه با توجه به نتایج به دست آمده از بخش قبل، به کمک نرم افزار Mathematica تلاش کرده ایم تا نحوه ی تغییرات میدان در هر سه ناحیه از فضا را ترسیم کنیم و نتایج حاصل را با نتایج حاصل از نرم افزار COMSOL که سایر مقالات گزارش شده‌اند مقایسه کنیم.

برای این منظور ابتدا فرض می‌کنیم موج فرودی یک موج تخت تکفام TE باشد که از سمت چپ تحت زاویه فرودی صفر به ساختار شنل خارجی فوق فرود می‌آید؛

بخش شعاعی معادله دیفرانسیل، همان معادله دیفرانسیل بسط می‌باشد که مکان صفر های آن به اندازه  $B$  جابجا شده‌اند و جواب های بخش زاویه به صورت  $e^{\pm il\theta}$  خواهند بود. بنابراین جواب های معادله موج در سه ناحیه  $r > b$  و  $a < r < b$  به صورت زیر خواهد بود

$$E_z = \begin{cases} \sum_l \alpha_l^{in} J_l(k_0 r) e^{il\theta} + \alpha_l^{sc} H_l^{(1)}(k_0 r) e^{il\theta} & r \geq b \\ \sum_l \alpha_l^1 J_l(k_1(r-B_{shell})) e^{il\theta} + \alpha_l^2 H_l^{(1)}(k_1(r-B_{shell})) e^{il\theta} & a \leq r \leq b \\ \sum_l \alpha_l^3 J_l(k_2 r) e^{il\theta} & r \leq a \end{cases} \quad (۷)$$

که در آن  $k_1 = k_0 \frac{c-b}{a-b}$ ،  $k_2 = k_0 c/a$  و  $J_l(\cdot)$  و  $H_l(\cdot)$  به ترتیب توابع بسط و هنکل مرتبه اول می باشند؛ و  $\alpha_l^i$  ( $i=1,2,3,in,sc$ ) ضرایب بسط برای موج در سه ناحیه مورد نظر می باشند.

شرایط مرزی مناسب روی  $E_z$  و  $H_\theta$  معادلات زیر را به دست می دهند:

در  $r=b$  داریم

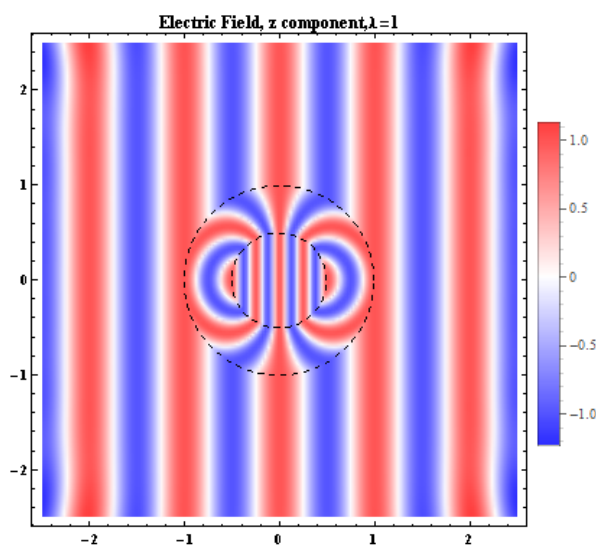
$$\begin{aligned} \alpha_i^{in} J_1(k_0 b) + \alpha_i^{sc} H_1(k_0 b) &= \\ \alpha_i^1 J_1(k_1(b-B)) + \alpha_i^2 H_1(k_1(b-B)) &= \\ k_0 [\alpha_i^{in} J_1'(k_0 b) + \alpha_i^{sc} H_1'(k_0 b)] &= \\ \frac{k_1(b-B)}{b} [\alpha_i^1 J_1'(k_1(b-B)) + \alpha_i^2 H_1'(k_1(b-B))] &= \end{aligned} \quad (۸-الف)$$

## مراجع

- [1] J. B. Pendry, D. Schurig and D. R. Smith, *Controlling electromagnetic fields*, **Science**, 312, 1780 (2006).
- [2] U. Leonhardt, *Optical conformal mapping*, **Science** 312, 1777 (2006).
- [3] Hualiang Zhang, Hao Xin, and R. W. Ziolkowski, *Electromagnetic Invisibility Cloak with Circular-Elliptical Shaped Boundary*, **Antennas and Propagation Society International Symposium, 2009. APSURSI '09. IEEE**
- [4] Marco Rahm, David Schurig, Daniel A. Roberts, Steven A. Cummer, David R. Smith, John B. Pendry, *Design of electromagnetic cloaks and concentrators using form invariant coordinate transformation of Maxwell's equations*, **Photonics and Nanostructures-Fundamentals and Applications 6 (2008) 87-95**
- [5] Cai Wenshan., Shalaev Vladimir., *Optical Metamaterials Fundamentals and applications*, New York, Springer, 2010.
- [6] Yu You, George W. Kattawar, and Ping Yang, *Invisibility cloaks for toroids*, **Opt Express**, 2009 Apr;17(8):6591-9
- [7] Lai Y., Chen H.Y., Zhang Z. Q., Chan C. T., *Complementary media invisibility cloak that cloaks objects at a distance outside the cloaking shell*, **Phys. Rev. Lett.** 102, 093901, 2009.
- [8] Zhichao Ruan, Min Yan, Curtis W. Neff, and Min Qiu, *Ideal Cylindrical Cloak, Perfect but sensitive to Tiny Perturbation*, **Phys. Rev. Lett.** 99, 113903 (2007).
- [9] Baile Zhang, Hongsheng Chen, Bae-Ian Wu, Yu Luo, Lixin Ran, and Jin Au Kong, *Response of a cylindrical invisibility cloak to electromagnetic waves*, **Phys. Rev. B**, 76, 121101(R), (2007).
- [10] Hongsheng Chen, Bae-Ian Wu, Baile Zhang, and Jin Au Kong, *Electromagnetic Wave Interactions with a Metamaterial Cloak*, **Phys. Rev. Lett.** 99, 063903 (2007).

بنابراین  $\alpha_l^{in} = (-i)^l$  خواهد بود [۸].

شکل ۱ مؤلفه  $z$  میدان الکتریکی یک موج تخت تکفام با طول موج  $\lambda=1$  واحد را در هر سه ناحیه به هنگام عبور از شل خارجی برای  $-20 \leq l \leq 20$  را نشان می دهد. پارامترهایی که برای رسم این نمودار مورد استفاده قرار گرفته اند عبارتست از  $a=0.5, b=1, c=2$  که کاملاً مشابه پارامترهای مرجع [۷] است و شکل حاصل انطباق بسیار خوبی با شکل گزارش شده در این مرجع، که توسط نرم افزار کامسول ترسیم شده است؛ دارد.



شکل ۱- توزیع میدان الکتریکی در تمامی نواحی داخلی، میانی و خارجی از یک شل خارجی که تحت تابش یک موج تخت تکفام TE با طول موج  $\lambda=1$  واحد قرار گرفته است. و توسط نرم افزار ممتیکا رسم شده است.

## ۵- نتیجه گیری

حل نظری معادله موج ماکسول برای یک شل نامرئی ساز خارجی مورد بررسی قرار گرفته است. بعد از یافتن معادله دیفرانسیل و حل آن، با توجه به شرایط مرزی مناسب، جواب های معادله موج را برای تمامی نواحی مساله به دست آورده ایم. در پایان به کمک نرم افزار ممتیکا میدان الکتریکی را برای تمامی این نواحی ترسیم کرده و با شکل ترسیمی گزارش شده با نرم افزار کامسول که در مرجع [۷] گزارش شده است، مقایسه کرده ایم. نتایج حاصل توافق بسیار خوبی با نتایج گزارش شده در مرجع مورد نظر دارند.